

## بررسی میزان بیان ژن Cbfa1 طی تمایز استئوژنیک سلول‌های بنیادی مشتق از بافت چربی

عبدالرضا دارائی<sup>۱</sup>، علی اصغر غفاری‌زاده<sup>۲</sup>، دکتر بتول هاشمی‌بنی<sup>۳</sup>، دکتر رسول صالحی<sup>۴</sup>،  
محمد صالحی<sup>۵</sup>، وحید بهرام‌بیگی<sup>۶</sup>

### مقاله پژوهشی

### چکیده

**مقدمه:** بافت استخوان توانایی رشد و ترمیم را دارد اما این توانایی با افزایش وسعت صدمات استخوان محدود می‌شود. تاکنون، روش‌های جایگزینی موجود هر یک دارای معایی بوده است. به تازگی، سلول‌های بنیادی مزانشیمی به خاطر کاربرد در مهندسی بافت استخوان از اهمیت بالایی برخوردار شده‌اند. این سلول‌ها توانایی تمایز به استئوبلاست سلول‌های اصلی استخوان را دارا می‌باشند. ژن Cbfa1 (Core binding factor alpha 1) در این سلول‌ها توانایی تمایز به استئوبلاست سلول‌های اصلی استخوان را دارا می‌باشد. ژن Cbfa1 طی دوره‌ی تمایزی استئوژنیک پرداختیم تا اثر تغییرات آن را روی تمایز این سلول‌ها تعیین کنیم.

**روش‌ها:** پس از نمونه گیری و جداسازی سلول‌های بنیادی مزانشیمی از بافت چربی، کشت این سلول‌ها انجام شد. پس از پاساز سوم، تمایز استئوژنیک این سلول‌ها به انجام رسید و سلول‌ها به مدت ۷، ۱۴ و ۲۸ روز در محیط تمایزی کشت داده شدند. تصدیق تمایز با استفاده از رنگ آمیزی Real-time PCR قام سلولی و تخلیص RNA تام سلولی و ساخت cDNA، با استفاده از روش von Kossa صورت پذیرفت. پس از به دست آوردن سلول‌ها، تخلیص RNA تام سلولی و ساخت cDNA، با استفاده از روش میزان بیان ژن Cbfa1 در استئوبلاست‌های حاصل از تمایز استئوژنیک مشخص گردید.

**یافته‌ها:** افزایش قابل توجهی در بیان ژن Cbfa1 در طی دوره‌ی تمایزی از روز ۷ تا روز ۲۸ در استئوبلاست‌های تمایز یافته از سلول‌های بنیادی مزانشیمی دیده شد.

**نتیجه‌گیری:** به نظر می‌رسد، با بیشتر قرار گرفتن سلول‌های بنیادی مزانشیمی در محیط استئوژنیک، این سلول‌ها شباهت بیشتری به سلول‌های استئوبلاست طبیعی از نظر بیان ژن Cbfa1 پیدا خواهند کرد؛ هر چند، این میزان بیان ژن Cbfa1 در استئوبلاست‌های طبیعی می‌باشد.

**وازگان کلیدی:** سلول‌های بنیادی مزانشیمی مشتق از چربی، استئوبلاست، ژن Cbfa1

**ارجاع:** دارائی عبدالرضا، غفاری‌زاده علی اصغر، هاشمی‌بنی بتول، صالحی رسول، صالحی محمد، بهرام‌بیگی وحید. بررسی میزان بیان ژن Cbfa1 طی تمایز استئوژنیک سلول‌های بنیادی مشتق از بافت چربی. مجله دانشکده پزشکی اصفهان ۱۳۹۲؛ ۳۱(۲۳۶): ۶۴۸-۶۴۰.

\* این مقاله هاصل پایان‌نامه‌ی دوره‌ی کارشناسی ارشد به شماره‌ی ۳۸۹۳۱۵ در دانشگاه علوم پزشکی اصفهان است.

۱- دانشجوی دکتری، گروه ژنتیک پزشکی، دانشکده‌ی پزشکی، دانشگاه علوم پزشکی تهران، تهران، ایران

۲- عضو هیأت علمی، جهاد دانشگاهی استان مرکزی، اراک، ایران

۳- استادیار، گروه آناتومی و بیولوژی ملکولی، دانشکده‌ی پزشکی، دانشگاه علوم پزشکی اصفهان، اصفهان، ایران

۴- دانشیار، گروه آناتومی و بیولوژی ملکولی، دانشکده‌ی پزشکی، دانشگاه علوم پزشکی اصفهان، اصفهان، ایران

۵- دانشجوی دکتری، گروه آمار زیستی، دانشکده‌ی پزشکی، دانشگاه علوم پزشکی شیراز، شیراز، ایران

۶- دانشجوی کارشناسی ارشد، گروه آناتومی و بیولوژی ملکولی، دانشکده‌ی پزشکی و کمیته تحقیقات دانشجویی، دانشگاه علوم پزشکی اصفهان، اصفهان، ایران

نویسنده‌ی مسؤول: وحید بهرام بیگی  
Email: v\_bahrambeigi@resident.mui.ac.ir

استئوبلاست را دارا می‌باشد و می‌توان آن‌ها را از مغز استخوان، بافت چربی و برخی بافت‌های دیگر به دست آورد (۱۲). در بین این منابع، بافت چربی به خاطر فراوانی و دسترسی آسان به آن، از اهمیت خاصی برخوردار است (۱۳-۱۴).

ژن‌های مختلفی در تمایز استئوبلاستی و استخوان‌زایی دخیل هستند که یکی از مهمترین آن‌ها Core binding factor alpha 1 (Cbfa1) می‌باشد. این ژن در انسان زیر واحد آلفا-۱ فاکتور متصل شونده به هسته را کد می‌کند که به عنوان فاکتور رونویسی ۲ مرتبط با کوتولگی (RUNX2) نیز شناخته می‌شود (۱۵).

Cbfa1 فاکتور رونویسی کلیدی مرتبط با افتراءق استئوبلاست است. این پروتئین، که عضوی از خانواده‌ی عوامل رونویسی RUNX است، دارای یک Domain متصل شونده به DNA می‌باشد (۱۵). این پروتئین برای تمایز و مورفوژنز استخوانی ضروری است و به عنوان یک داربست برای اسیدهای نوکلئیک و عوامل تنظیمی درگیر در بیان ژن اسکلتی عمل می‌کند. همچنین می‌تواند، هم به صورت یک منومر و هم با تمايل بيشتر، به صورت یک زير واحد از مجموعه‌ی هتروديمری، به DNA متصل شود (۱۵).

تعامالت اتصال شوندگی Cbfa1 هنگام ورود سلول‌ها به میتوز تغییر می‌کند؛ به این صورت که، مادامی که کروموزوم‌ها متراکم می‌شوند، میل اتصالی افزایش و پس از آن، در دوره‌های بعدی فاز میتوز کاهش می‌یابد. این فاکتور رونویسی در تنظیم تمایز استئوبلاستی و بیان ژن‌های مختص استئوبلاست در سنتز ماتریکس استخوان دخیل می‌باشد (۱۵-۱۶).

تاکنون مطالعه‌ای در زمینه‌ی بررسی بیان ژن Cbfa1

## مقدمه

بافت استخوان دارای توانایی رشد و ترمیم می‌باشد؛ به طوری که، اکثر شکستگی‌های استخوان با درمان‌های ارتوپدی و حمایتی بهبود می‌یابند؛ اما این توانایی با افزایش وسعت خدمات استخوان محدود می‌شود (۱).

در شرایطی که نقص شدید در کارکرد استخوان به علت بیماری، ترومای ناشی از تصادفات رانندگی، قطع بافت استخوانی به منظور برش تومور، نقايسن استخوانی حاصل از کيست‌ها و تومورهای استخوانی، نفوذ اجسام خارجی و شکستگی‌های توأم با خردشدن وجود داشته باشد، بخش بزرگی از بافت استخوانی از دست می‌رود و بیماران دچار مشکلاتی از قبیل کوتاهی عضو، از بین رفتن زیبایی ظاهری در نواحی سر و صورت و مشکلات روحی و روانی ناشی از آن می‌شوند؛ در این موارد، همواره نیاز به ترمیم و جایگزین کردن استخوان از دست رفته وجود دارد (۲-۳).

در چند سال اخیر، جایگزین‌های صناعی زیادی با پایه‌ی مواد معدنی استخوان معرفی شده است، اما هر یک دارای معايبي می‌باشد که کاربرد آن‌ها را محدود می‌سازد. همچنین، انواع پيوندهای فلزی و آلوگراف نیز به علت وجود معایب، کاربرد محدودی پیدا کرده است (۳-۹). با این وجود، مطالعات اخیر بیشتر بر روی استفاده از استخوان اتوگراف و تکنیک‌های مهندسی بافت تمرکز دارند؛ این روش‌ها مستلزم استفاده از بافت مناسب و دارای سلول‌هایی با پتانسیل استخوان‌سازی می‌باشد (۱۰).

به تازگی، سلول‌های بنیادی مزانشیمی به خاطر کاربرد در مهندسی بافت از اهمیت بالایی برخوردار شده است (۱۱). این سلول‌ها توانایی تمایز به

با  $\text{CO}_2$  ۵ درصد و رطوبت نسبی کشت داده شد. پس از گذشت چند ساعت، سلول‌های تک هسته‌ای شروع به چسیدن به کف فلاسک کردند. با تعویض Medium بعد از ۲۴ ساعت، سلول‌های اضافی تخلیه شد. بدین ترتیب، کشت اولیه سلول‌های جدا شده آغاز گردید. پس از ۱۰ الی ۱۲ روز، سلول‌ها تکثیر یافت و سطح فلاسک را اشغال نمود. فلاسک‌ها پاساژ داده شد و سلول‌های پاساژ سوم، به منظور تمایز استئوژنیک، مورد استفاده قرار گرفت.

### تمایز استئوژنیک

پس از پاساژ سوم سلول‌های بنیادی مزانشیمی و به دست آمدن جمعیت هموژن از این سلول‌ها، حدود ۲۵۰۰۰ از سلول‌های بنیادی درون پتری دیش‌های ۱ میلی لیتری کاشته شد و تحت تأثیر محیط کشت استئوژنیک حاوی بتا گلیسرول فسفات  $10 \text{ nM}$ ،  $10 \text{ }\mu\text{g/ml}$  دگراماتازون<sup>-۷</sup> مولار، آسکوربات دوفسفات FBS،  $50 \text{ }\mu\text{g/ml}$  درصد قرار گرفت. محیط سلول‌ها هر ۲ الی ۳ روز تعویض شد.

حدود ۲۵۰۰۰ از سلول‌های بنیادی مزانشیمی در روزهای ۱۴، ۷ و ۲۱ از تمایز به منظور تیمار بیشتر در محیط تمایزی درون پتری دیش‌های ۱ میلی لیتری کاشته شد. همچنین، به منظور استخراج RNA تعداد  $10^6 \times 3$  سلول در روزهای ۱۴، ۷، ۲۱ و ۲۸ مورد استفاده قرار گرفت (هر گروه ۳ نمونه).

### رنگ‌آمیزی von Kossa

هدف از انجام این رنگ‌آمیزی، رنگ کردن ماتریکس معدنی می‌باشد. پس از دو مرتبه شستشوی سلول‌ها با PBS، فرمالدئید ۳ درصد در فسفات بافر، به عنوان Fixative، به مدت ۱۰ دقیقه اضافه شد. سپس، فسفات بافر فرمالدئید خارج و نیترات نقره‌ی

طی تمایز استئوژنیک سلول‌های بنیادی مشتق از چربی صورت نپذیرفته است. بنابراین، ما در این مطالعه به بررسی الگوی بیان ژن Cbfa1 طی تمایز استئوژنیک سلول‌های بنیادی مشتق از بافت چربی پرداختیم.

### روش‌ها

جداسازی و کشت سلول‌های بنیادی مزانشیمی از بافت چربی

۳ نمونه‌ی بافت چربی زیرجلدی، به صورت تصادفی از بین بیماران زن مراجعه کننده به بیمارستان الزهرا اصفهان، در جریان عمل جراحی لیپوساکشن جمع‌آوری شد.

بافت چربی پس از شستشو با PBS (Phosphate buffered saline) توسط اسکالپل به قطعات کوچک چند میلی‌متری برش داده شد و بافت همبند و عروق خونی از آن جدا گردید. سپس، بافت ریز شده با آنزیم کلائزناز نوع ۱ با غلظت ۰/۰۷۵ درصد، به مدت ۴۰ دقیقه در دمای ۳۷ درجه‌ی سانتی‌گراد انکوبه و هر ۱۰ دقیقه یکبار Shake شد.

پس از اطمینان از تجزیه‌ی کامل بافت، هم حجم با مقدار آنزیم کلائزناز به کار رفته، محیط کشت (Dulbecco's modified eagle medium) DMEM حاوی FCS (Fetal calf serum) ۱۰ درصد و پنی‌سیلین/استرپتو‌مایسین ۱ درصد، جهت ختنی کردن فعالیت آنزیم کلائزناز، به سوسپانسیون سلولی اضافه گردید. در ادامه، سوسپانسیون یه مدت ۱۰ دقیقه با دور ۱۴۰۰ rpm سانتریفیوژ شد؛ در نهایت، رسوبات سلولی فلاسک‌های حاوی محیط کشت DMEM سرم گاوی ۱۰ درصد و پنی‌سیلین/استرپتو‌مایسین ۱ درصد منتقل و در انکوباتور ۳۷ درجه‌ی سانتی‌گراد

در مقالات مختلف به کار رفته بود (۱۷). تصدیق این پرایمرها با استفاده از نرم افزارهای ۳ Primer NCBI و Primer Blast به انجام رسید. همچنین، پرایمرها از نظر وجود یا عدم وجود پرایمر دایمر و ایجاد ساختارهای ثانویه با استفاده از نرم افزار Gene Runner بررسی شد.

توالی پرایمرها برای ژن Cbfa1 به شرح زیر بود:

پرایم ۵- Forward \_\_\_\_\_ ر

GGTTCTTGCTATATTGCC-3

پرایم ۵- Reverse \_\_\_\_\_ ر

GCTGGGAAAGACATAGAAGA-3

پرایمرهای بتا اکتین به عنوان کترل داخلی از شرکت کیاژن خریداری شد.

#### Real-time PCR

واکنش PCR در دستگاه Real-time (Corbet Rotor-Gene 6000) به انجام رسید. واکنش با حجم نهایی هر واکنش ۲۰ میکرولیتر انجام شد. از SYBR Green PCR ۱۲/۵ میکرولیتر مستر میکس cDNA ۱ میکرولیتر از هر پرایمر ۲ میکرولیتر (۰/۰۱ میلی مولار) و ۳/۵ میکرولیتر برای هر واکنش استفاده شد. واکنش Real-time PCR برای ژن بتا اکتین به صورت ۲ مرحله‌ای (دماهی Annealing و Extension یکسان برابر ۶۰ درجه‌ی سانتی‌گراد) و برای ژن Cbfa1 به صورت ۳ مرحله‌ای (دماهی Annealing برابر ۶۴ درجه و Extension برابر ۷۲ درجه سانتی‌گراد) به انجام رسید.

#### تجزیه و تحلیل آماری داده‌ها

جهت بررسی آماری داده‌ها و محاسبه‌ی میزان بیان نسبی هر یک از ژن‌ها، از نرم افزارهای SPSS نسخه‌ی (version 16, SPSS Inc., Chicago, IL) و Excel 2007 استفاده شد. بررسی روند بیان ژن طی دوره‌ی تمايز با آزمون Friedman انجام شد. برای

درصد به مدت ۳۰ دقیقه اضافه شد. پس از خارج کردن نیترات نقره و شستشو با آب مقطر، محلول Pyrogallol ۱ درصد به مدت ۳ دقیقه اضافه گردید. سپس محلول Nuclear fast red، جهت رنگ کردن هسته‌ها به مدت ۵ دقیقه اضافه شد. پس از این رنگ‌آمیزی، محلول‌های ماتریکس معدنی، سیاه رنگ و هسته‌ها قرمز شدند.

#### استخراج RNA سلولی

۶ × ۳ سلول پس از شستشو با PBS (۲ مرتبه) و تریپسینه شدن و سپس خنثی سازی، رسوب داده شد. محیط رویی برداشته شد تا رسوب سلولی به همراه ۱ میلی‌لیتر از محیط باقی بماند. این رسوب در محیط باقی‌مانده حل و سلول‌ها به میکروتیوب ۱/۵ منتقل شد. استخراج RNA تام سلولی با استفاده از کیت استخراج RNA کیاژن (RNeasy Plus Mini Kit) و بر اساس دستورالعمل شرکت سازنده به انجام رسید.

#### واکنش نسخه برداری معکوس (RT)

از حجم معادل ۶ میکروگرم از RNA تام سلولی استخراج شده به منظور سنتز cDNA استفاده شد. این عمل با استفاده از کیت RevertAid™ First Strand cDNA Synthesis Kit از محصولات شرکت فرمتاز انجام گرفت. برای هر نمونه، ۱ میکرولیتر از پرایمر اولیگو dT، ۴ میکرولیتر از بازدارنده‌ی dNTP، RiboLock™ RNase و ۱ میکرولیتر از آنزیم MMLV-RT استفاده شد (حجم نهایی ۲۰ میکرولیتر). مراحل واکنش بر اساس دستورالعمل شرکت سازنده به انجام رسید.

#### پرایمرها

در این مطالعه از جفت پرایمری استفاده شد که پیشتر

۵ برابر نمونه‌ی استئوبلاست طبیعی استفاده شد (شکل a). بررسی منحنی‌های ذوب، نشان دهنده‌ی تکثیر نمایی قطعه‌ی مورد نظر با منحنی ذوب یکتا بود (شکل ۲b). شرایط واکنش Real-time PCR به صورتی بهینه شد تا کارایی واکنش PCR نزدیک به ۱۰۰ درصد باشد (شکل ۲c).

آزمون آماری Dante نشان داد که میانگین بیان ژن Cbfa1 در استئوبلاست‌های طبیعی بالاتر از استئوبلاست‌های حاصل از تمایز استئوژنیک می‌باشد ( $P < 0.05$ ).

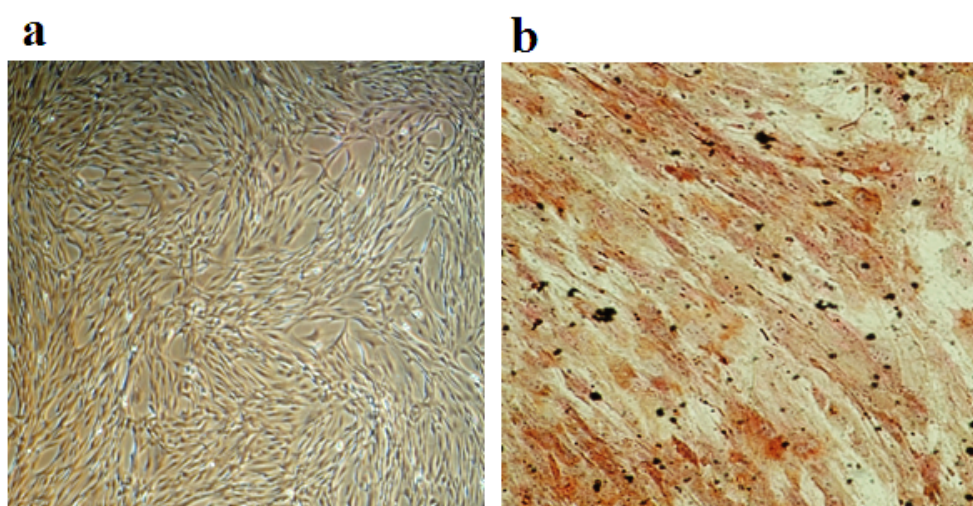
آزمون آماری Friedman نیز نشان داد که اختلاف معنی‌داری در میانگین بیان ژن Cbfa1 در استئوبلاست‌های حاصل از تمایز طی ۴ دوره‌ی تمایزی دیده می‌شود. همان طور که در شکل ۳ دیده می‌شود، این آزمون نشان داد که اختلاف معنی‌داری بین هر ۴ گروه تمایزی وجود دارد؛ به طوری که، بیان ژن Cbfa1 از روز ۷ تا ۲۸ به طور پیوسته افزایش پیدا کرد و بیان در گروه تمایزی ۷ روزه، پایین‌تر از دیگر گروه‌های تمایزی بود ( $P < 0.05$ ).

تمام محاسبات آماری انجام شده، مقادیر P کمتر از ۰/۰۵ به عنوان اختلاف معنی‌دار در نظر گرفته شد.

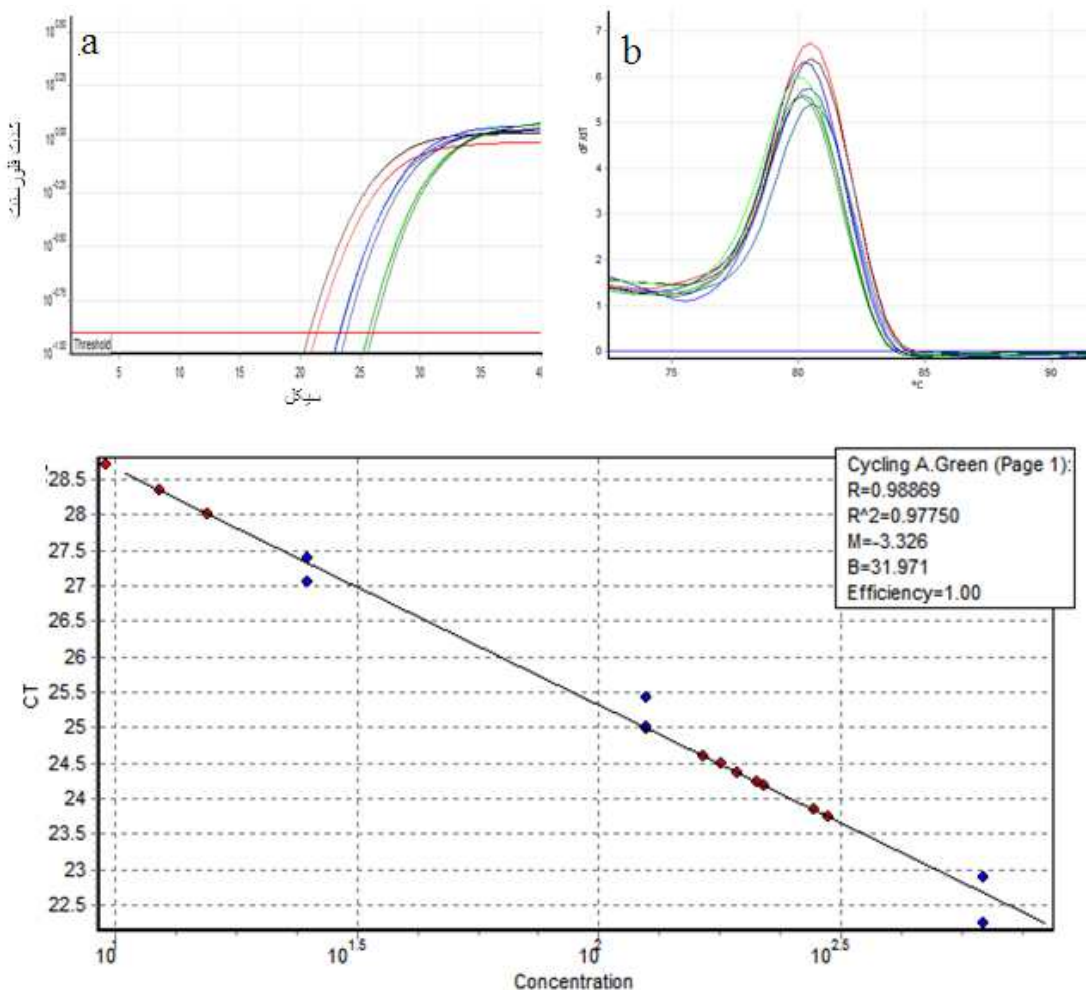
### یافته‌ها

پس از جدا سازی سلول‌های بنیادی مزانشیمی از بافت چربی (شکل ۱a)، رنگ‌آمیزی von Kossa در روز ۱۴ از تمایز استئوژنیک سلول‌های بنیادی مزانشیمی به انجام رسید. پس از رنگ‌آمیزی، رسوبات حاصل از ترشح مواد معدنی توسط سلول‌های استئوبلاست حاصل از تمایز سلول‌های بنیادی مزانشیمی مشتق از بافت چربی به صورت اجسام کروی سیاه رنگ دیده شد (شکل ۱b).

بررسی میانگین بیان نسبی ژن Cbfa1 (نرمال شده نسبت به بیان ژن به عنوان کنترل داخلی) در نمونه‌های استئوبلاست طبیعی و نمونه‌های استئوبلاست حاصل از تمایز استئوژنیک، طی ۴ دوره‌ی تمایزی با استفاده از روش Real-time PCR صورت پذیرفت. برای ترسیم منحنی استاندارد، به منظور کمی نمودن بیان ژن، از رقت‌های سریالی

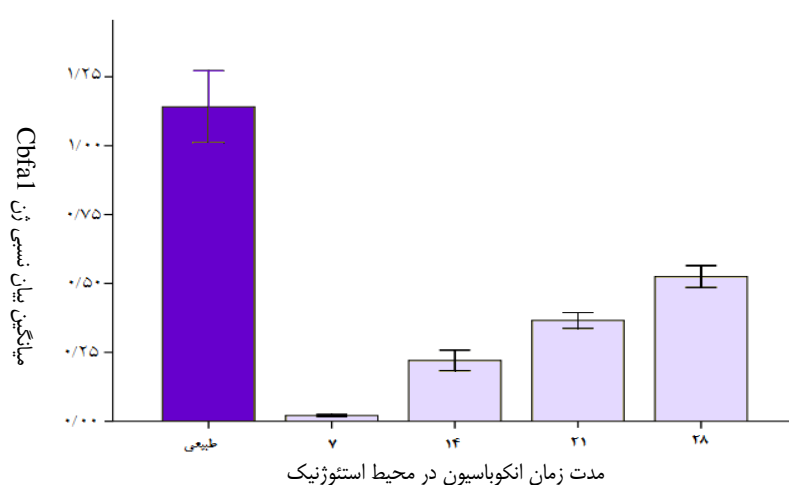


شکل ۱ a: سلول‌های بنیادی مزانشیمی مشتق از بافت چربی در پاساز سوم؛ b: رنگ‌آمیزی von Kossa در روز ۱۴ از تمایز استئوژنیک سلول‌های بنیادی مزانشیمی



شکل ۲. بهینه سازی شرایط تکثیر ژن فاکتور متصل شونده به هسته‌ی آلفا ۱ با استفاده از

Real-time PCR a: منحنی استاندارد; b: منحنی ذوب; c: تعیین کارآمدی واکنش



شکل ۳. مقایسه میانگین بیان نسبی ژن Cbfa1 در ۴ روز مختلف از تمایز استئوژنیک و مقایسه آنها با میانگین بیان Cbfa1 در استئوبلاست‌های طبیعی

با این وجود، در مطالعات دیگر نشان داده شده است که تغییرات افزایشی قابل توجهی در میزان بیان ژن Cbfa1 طی تمایز استئوژنیک اتفاق می‌افتد. Banerjee و همکاران با بررسی بیان ژن Cbfa1 در استئوبلاست‌های حاصل از تمایز سلول‌های بنیادی مزانشیمی مشتق از مغز استخوان رت در پاسخ به BMP-2، دریافتند که بیان این ژن به طور پیوسته افزایش پیدا می‌کند (۱۹).

Shui و همکاران افزایش قابل توجهی را در میزان بیان Cbfa1 طی تمایز استئوژنیک سلول‌های بنیادی مزانشیمی مشتق از مغز استخوان مشاهده نکردند (۱۳). ایشان با بررسی بیان این ژن در استئوبلاست‌های حاصل از تمایز سلول‌های بنیادی مزانشیمی مشتق از مغز استخوان انسان در روزهای ۰، ۳، ۷ و ۱۴ از تمایز استئوژنیک دریافتند که با وجود این که بیان Cbfa1 طی تمایز استئوژنیک افزایش چندانی ندارد ولی، فعالیت و میزان ترجمه‌ی پروتئین Cbfa1 طی تمایز استئوژنیک افزایش پیدا می‌کند. در این مطالعه، ما به بررسی بیان ژن Cbfa1 طی تمایز استئوژنیک سلول‌های بنیادی مشتق از بافت چربی پرداختیم و با بررسی بیان ژن Cbfa1 در گروه‌های تمایز یافته در روزهای ۷، ۱۴، ۲۱ و ۲۸ دریافتیم که بیان ژن Cbfa1 طی تمایز استئوژنیک به طور پیوسته‌ای افزایش پیدا می‌کند.

Cbfa1 یک فاکتور رونویسی است که در تنظیم تمایز استئوبلاستی، بیان ژن‌های مختص استئوبلاست و ستر ماتریکس استخوان دخیل می‌باشد. بنابراین انتظار می‌رود، با افزایش بیان این ژن و اتصال آن به عناصر سیس ژن‌های دخیل در استخوان‌سازی، بیان این ژن‌ها نیز افزایش یابد و سلول از نظر بیان ژن‌های

## بحث

Cbfa1 یک فاکتور نسخه برداری و عضوی از خانواده CBFα1 می‌باشد که دارای Domain متصل شونده به DNA رانت است (۱۴). جهش در ژن Cbfa1 منجر به یک نوع بیماری استخوان به نام بدشکلی Cleidocranial می‌شود که به صورت نقایص اسکلتی متعدد ظاهر پیدا می‌کند (۱۶). مشخص شده است که موش‌های با فقدان عملکرد ژن Cbfa1 در هنگام تولد می‌میرند و این موش‌ها هیچ گونه اسکلت معدنی شده‌ای ندارند (۱۵). نتایج مطالعات مختلف نشان داده است که Cbfa1 علاوه بر بافت استخوان، در بافت‌هایی مانند بیضه، تیموس و اپیتلیوم پستان نیز بیان می‌شود (۱۵-۱۶).

سلول‌های پیش‌ساز استئوبلاست و استئوبلاست‌های بالغ ژن Cbfa1 را بیان می‌کنند؛ با این وجود، بیان Cbfa1 برای تمایز استئوبلاستی کافی نیست. تا کنون در مطالعات به انجام رسیده، الگوی بیان ژن Cbfa1 طی تمایز استئوژنیک سلول‌های بنیادی مشتق از مغز استخوان بررسی شده ولی مطالعه‌ای در زمینه‌ی بررسی بیان ژن Cbfa1 طی تمایز استئوژنیک سلول‌های بنیادی مشتق از چربی صورت نپذیرفته است.

از آن جایی که سلول‌های بنیادی مزانشیمی مشتق از بافت‌های گوناگون دارای پتانسیل‌های تمایزی و تکثیری متفاوتی می‌باشند، الگوی بیان ژن‌های مختلف Sila-Asna و همکاران نشان دادند که سلول‌های بنیادی مزانشیمی مشتق از مغز استخوان، ژن Cbfa1 را در روز ۱۴ از قرار گرفتن این سلول‌ها در محیط تمایزی بیان می‌کنند (۱۸).

سلول‌های بنیادی مزانشیمی در محیط استئوبلاست، این سلول‌ها شباهت بیشتری به سلول‌های استئوبلاست طبیعی از نظر بیان ژن Cbfa1 پیدا خواهند کرد.

### تشکر و قدردانی

از معاونت محترم تحقیقات و فناوری دانشگاه علوم پزشکی اصفهان، بابت تأمین هزینه‌ی طرح پژوهشی که این مقاله حاصل از آن می‌باشد، قدردانی می‌نماییم.

مختص استخوان به سلول‌های استئوبلاست طبیعی شباهت بیشتری داشته باشد.

### نتیجه‌گیری

این مطالعه در جهت ارزیابی سلول‌های بنیادی مزانشیمی مشتق از بافت چربی به عنوان منبعی برای سلول درمانی نقایص استخوانی به انجام رسید. نتایج این مطالعه نشان داد که با بیشتر قرار گرفتن

### References

- Dallari D, Fini M, Stagni C, Torricelli P, Nicoli AN, Giavaresi G, et al. In vivo study on the healing of bone defects treated with bone marrow stromal cells, platelet-rich plasma, and freeze-dried bone allografts, alone and in combination. *J Orthop Res* 2006; 24(5): 877-88.
- Kim WS, Vacanti CA, Upton J, Vacanti JP. Bone defect repair with tissue-engineered cartilage. *Plast Reconstr Surg* 1994; 94(5): 580-4.
- Rodan GA. Introduction to bone biology. *Bone* 1992; 13(Suppl 1): S3-S6.
- Alsberg E, Anderson KW, Albeiruti A, Franceschi RT, Mooney DJ. Cell-interactive alginate hydrogels for bone tissue engineering. *J Dent Res* 2001; 80(11): 2025-9.
- de Boer HH. The history of bone grafts. *Clin Orthop Relat Res* 1988; (226): 292-8.
- Gazdag AR, Lane JM, Glaser D, Forster RA. alternatives to autogenous bone graft: efficacy and indications. *J Am Acad Orthop Surg* 1995; 3(1): 1-8.
- Green SA, Jackson JM, Wall DM, Marinow H, Ishkhanian J. Management of segmental defects by the Ilizarov intercalary bone transport method. *Clin Orthop Relat Res* 1992; (280): 136-42.
- Ikada Y. Challenges in tissue engineering. *J R Soc Interface* 2006; 3(10): 589-601.
- Kaigler D, Mooney D. Tissue engineering's impact on dentistry. *J Dent Educ* 2001; 65(5): 456-62.
- Langer R, Vacanti JP. Tissue engineering. *Science* 1993; 260(5110): 920-6.
- Bruder SP, Fink DJ, Caplan AI. Mesenchymal stem cells in bone development, bone repair, and skeletal regeneration therapy. *J Cell Biochem* 1994; 56(3): 283-94.
- Aubin JE. Bone stem cells. *J Cell Biochem* Suppl 1998; 30-31: 73-82.
- Shui C, Spelsberg TC, Riggs BL, Khosla S. Changes in Runx2/Cbfal expression and activity during osteoblastic differentiation of human bone marrow stromal cells. *J Bone Miner Res* 2003; 18(2): 213-21.
- Zuk PA, Zhu M, Ashjian P, De Ugarte DA, Huang JI, Mizuno H, et al. Human adipose tissue is a source of multipotent stem cells. *Mol Biol Cell* 2002; 13(12): 4279-95.
- Kirkham GR, Cartmell SH. Genes and proteins involved in the regulation of osteogenesis. In: Ashammakhi N, Ferretti P, editors. *Topics in tissue engineering*. 1<sup>st</sup>. Oulu, Finland: University of Oulu; 2003.
- Ducy P, Zhang R, Geoffroy V, Ridall AL, Karsenty G. Osf2/Cbfal: a transcriptional activator of osteoblast differentiation. *Cell* 1997; 89(5): 747-54.
- Araki S, Mezawa M, Sasaki Y, Yang L, Li Z, Takai H, et al. Parathyroid hormone regulation of the human bone sialoprotein gene transcription is mediated through two cAMP response elements. *J Cell Biochem* 2009; 106(4): 618-25.
- Sila-Asna M, Bunyaratvej A, Maeda S, Kitaguchi H, Bunyaratavej N. Osteoblast differentiation and bone formation gene expression in strontium-inducing bone marrow mesenchymal stem cell. *Kobe J Med Sci* 2007; 53(1-2): 25-35.
- Banerjee C, Javed A, Choi JY, Green J, Rosen V, van Wijnen AJ, et al. Differential regulation of the two principal Runx2/Cbfal n-terminal isoforms in response to bone morphogenetic protein-2 during development of the osteoblast phenotype. *Endocrinology* 2001; 142(9): 4026-39.

## Transcriptomic Evaluation of *Cbfa1* Gene during Osteogenic Differentiation of Adipose Derived Mesenchymal Stem Cells

Abdolreza Daraei MSc<sup>1</sup>, Ali Asghar Ghafarizadeh MSc<sup>2</sup>, Batoul Hashemibeni PhD<sup>3</sup>,  
Rasoul Salehi PhD<sup>4</sup>, Mohammad Salehi<sup>5</sup>, Vahid Bahrambeigi<sup>6</sup>

### Original Article

#### Abstract

**Background:** Bone is a tissue with high repair capacity; but, this ability dramatically is limited during irrecoverable bone and skeletal defects. Stem cell therapy is a promising approach for construction of bone tissue. Mesenchymal stem cells (MSCs) have been introduced as basic tools for bone tissue generation in tissue engineering. Core binding factor alpha 1 (*Cbfa1*) is one of the main genes involved in osteogenesis. Since relative expression of *Cbfa1* in differentiated osteoblasts from adipose derived stem cells is unknown, this study aimed to evaluate the gene expression pattern of *Cbfa1* in adipose derived differentiated osteoblasts in 4 different time intervals.

**Methods:** Real-time PCR was used for studying the gene expression of *Cbfa1* in human normal osteoblasts and adipose derived osteogenic osteoblasts at the days 7, 14, 21 and 28.

**Findings:** There was a progressive increase in *Cbfa1* expression over the differentiation period of adipose derived mesenchymal stem cells (ADSCs) from day 7 to day 28. Differentiated osteoblasts expressed *Cbfa1* lower than native osteoblasts ( $P < 0.05$ ).

**Conclusion:** ADSCs are an attractive source for engineering a new bone tissue. According to our results, adipose derived differentiated osteoblasts express candidate gene at least on day 7 of culture. Our study indicates that longer treatment of ADSCs in osteogenic medium confer better osteoblastic properties to these cells.

**Keywords:** Adipose derived mesenchymal stem cell, Core binding factor alpha 1 (*Cbfa1*), Osteoblast

**Citation:** Daraei A, Ghafarizadeh AA, Hashemibeni B, Salehi R, Salehi M, Bahrambeigi V. **Transcriptomic Evaluation of *Cbfa1* Gene during Osteogenic Differentiation of Adipose Derived Mesenchymal Stem Cells.** J Isfahan Med Sch 2013; 31(236): 640-8

\* This paper is derived from a MSc thesis No. 389315 in Isfahan University of Medical Sciences.

1- PhD Student, Department of Medical Genetics, School of Medicine, Tehran University of Medical Sciences, Tehran, Iran

2- Faculty Member, Iranian Academic Center for Education Culture and Research, Markazi Branch, Arak, Iran

3- Assistant Professor, Department of Anatomy and Molecular Biology, School of Medicine, Isfahan University of Medical Sciences, Isfahan, Iran

4- Associate Professor, Department of Anatomy and Molecular Biology, School of Medicine, Isfahan University of Medical Sciences, Isfahan, Iran

5- PhD Student, Department of Biostatistics, School of Medicine, Shiraz University of Medical Sciences, Shiraz, Iran

6- MSC Student, Department of Anatomy and Molecular Biology, School of Medicine AND Student Research Committee, Isfahan University of Medical Sciences, Isfahan, Iran

**Corresponding Author:** Vahid Bahrambeigi, Email: V\_bahrambeigi@resident.mui.ac.ir